



ЭЛЕКТРИЧЕСКИЕ СТАНЦИИ

ОРГАН МИНИСТЕРСТВА ЭНЕРГЕТИКИ
И ЭЛЕКТРИФИКАЦИИ СССР
И ЦЕНТРАЛЬНОГО ПРАВЛЕНИЯ
ВСЕСОЮЗНОГО НАУЧНО-ТЕХНИЧЕСКОГО
ОБЩЕСТВА ЭНЕРГЕТИКОВ И ЭЛЕКТРОТЕХНИКОВ
ИМЕНИ АКАДЕМИКА Г. М. КРЖИЖАНОВСКОГО

месячный
производственно-
технический
журнал



ЭНЕРГОАТОМИЗДАТ 1990

10

Пролетарии всех стран, соединяйтесь!

ОРГАН МИНИСТЕРСТВА ЭНЕРГЕТИКИ
И ЭЛЕКТРИФИКАЦИИ СССР
И ЦЕНТРАЛЬНОГО ПРАВЛЕНИЯ
ВСЕСОЮЗНОГО НАУЧНО-ТЕХНИЧЕСКОГО
ОБЩЕСТВА ЭНЕРГЕТИКОВ И ЭЛЕКТРОТЕХНИКОВ
ИМЕНИ АКАДЕМИКА Г. М. КРЖИЖАНОВСКОГО

Издается с января 1930 года

ЭЛЕКТРИЧЕСКИЕ СТАНЦИИ

Ежемесячный производственно-технический журнал

МОСКВА. ЭНЕРГОАТОМИЗДАТ

ОКТЯБРЬ 10. 1990

СОДЕРЖАНИЕ

К 60-ЛЕТИЮ МОСКОВСКОГО ЭНЕРГЕТИЧЕСКОГО ИНСТИТУТА

- 2 Воронов В. Н. МЭИ — 60 лет
5 Максимов Б. К. Подготовка инженерных и научных кадров на электроэнергетическом факультете МЭИ: состояние и проблемы
8 Обрезков В. И. Гидроэнергетики МЭИ в освоении энергетических ресурсов страны
11 Кривенков В. В., Морозкин В. П., Новелла В. Н. Подготовка инженерных кадров по релейной защите и автоматизации энергосистем
15 Старшинов В. А., Гусев Ю. П., Трофимов А. В., Брызгалов Ю. Н. Персональные ЭВМ в подготовке инженеров по специальности «Электрические станции»
18 Калафатыч Д. Д. Сравнение энергетической эффективности ТЭЦ и других способов электротеплоснабжения
22 Елизаров Д. П., Дубов А. А. Экспериментальное и расчетное исследование причин повреждений ремонтных стыков труб поверхности нагрева котлов с использованием магнитного контроля
27 Литкенс И. В., Пуго В. И., Строев В. А., Филинская Н. Г. Методы синтеза структур и оптимизации настроек АРВ агрегатов электростанций с учетом системных требований
32 Кудрявцев Е. П. Электродинамическая стойкость шинных линий
36 Долин А. П. Научные основы методики расчета и эффективность применения жесткой ошиновки ОРУ 110 кВ и выше
41 Штробель В. А., Бейм Р. С. Анализ влияния релейной форсировки по напряжению при больших возмущениях в энергосистеме
44 Жуков В. В., Казакин В. Ф., Шиша М. А., Воронин Г. И. Влияние обратимых двигатель-генераторов и статических преобразователей на ток КЗ в системе постоянного тока электростанций

ТЕПЛОВЫЕ ЭЛЕКТРОСТАНЦИИ

- 48 Мысак И. С., Еремчук В. А. Экономичное распределение природного газа и мазута по котлам ТМ-104 и ТМЕ-213 Молдавской ГРЭС после модернизации оборудования
52 Бреус В. И., Беляков И. И. Температурный режим топочных экранов малогабаритного котла ТГМЕ-428 с неошипованной вихревой камерой горения
55 Брыков В. Я., Лысков В. Я., Александрович А. Н., Кука В. М., Амангалиев А. А., Новик В. В. Система автоматического расшлаковывания котлов Ермаковской ГРЭС

- 58 Башаров Ю. Д., Иванов Ю. Е., Липатников Г. А., Онищенко О. А., Старовойтов Н. Г., Холянов В. С. Некоторые проблемы формирования и регулирования графика электрических нагрузок в системе Дальэнерго

СОБСТВЕННЫЕ НУЖДЫ ЭЛЕКТРОСТАНЦИЙ

- 62 Коган Ф. Л., Плясуля И. П. Анализ причин потери собственных нужд на электростанциях

РЕЛЕЙНАЯ ЗАЩИТА, АВТОМАТИКА, СВЯЗЬ

- 69 Гоник Я. Е. Выявление сечения асинхронного хода в энергосистеме
73 Мокеев С. Ф., Мокеев А. С. Защита при включении на короткое замыкание
76 Гитман В. А., Жидовецкий М. Л. Сопротивление компенсации в реле мощности обратной последовательности защиты ВЛ 330—750 кВ типа ПДЭ-2003

ПЕРЕНАПРЯЖЕНИЯ

- 79 Левковский А. И. Исследование переходных процессов при дуговых замыканиях на землю в электрической сети 10 кВ с трансформатором напряжения НАМИ-10

ОБМЕН ПРОИЗВОДСТВЕННЫМ ОПЫТОМ

- 81 Губицкий Е. И., Химко Я. В., Веселова Т. В. О влиянии систем пневмотранспорта золы на пылевые выбросы ТЭС
82 Паули В. К. Влияние организационных мер на повышение надежности Ставропольской ГРЭС
88 Васильев Н. К., Фоминих Ю. А., Волков В. А. Нагреватель трансформаторного масла

В ГЛАВНОМ НАУЧНО-ТЕХНИЧЕСКОМ УПРАВЛЕНИИ

- 92 О предотвращении разрушений бандажных колец и вспомогательных элементов бандажных узлов роторов турбогенераторов

На обложке — Балаковская АЭС. Пульт управления энергоблоком № 3.

П. Расчет электродинамической стойкости Электричество, 1983, № 4.
П. Инженерный расчет прочности и смещения при коротких замыканиях. — Известия гика, 1984, № 11.
— Буй-Хань-Жанг. Исследование колебаний — Промышленная энергетика, 1978, № 8.
Шонгин Г. Ф. Открытые распределительные ящики ошиновкой. М.: Энергоатомиздат,

И., Сергей И. И. Расчет электродинамики гибкой ошиновки открытых распределительных ящиков высокого напряжения. — Электричество,

2] 621.315.35.001.24

НОВЫЕ АСЧЕТА И СТЬ ПРИМЕНЕНИЯ

ИНОВАЦИИ ОРУ 110 кВ И ВЫШЕ

д. техн. наук

ие годы в ОРУ 110 кВ и выше вмени все шире используют жесткие трубчатые ошиновки. Такая ошиновка позволяет создать и экономичные ОРУ, занимающие цадь, имеющие более низкое расстояние портала, чем в ОРУ с гибкими. Благодаря этому сокращается льных и силовых кабелей, дорог, ровочных и земляных работ, затраченной конструкции, облегчается очистка смот шинных конструкций, улучшает и аппаратов, снижается трудоемкость и сроки ввода ОРУ [1]. Напряжения 110, в ряде случаев 220 кВ, тивным оказалось внедрение блочных РУ с жесткими шинами типа УБ (разработчик Оргэнергострой).

Выбор и расчет жесткой ошиновки ОРУ 110 кВ и выше проводится по длине пути утечки изоляционных опор, расстоянию в свету между токоведущими элементами, а также между проводниками и заземленными элементами, допустимым температурным удлинениям шин, условиям короны, нагреву шин в рабочих режимах (нагрузочной способности) и КЗ (термической стойкости), допустимым прогибам от собственного веса, условиям прочности (стойкости) при ветровых, гололедных и электродинамических нагрузках, в том числе при неуспешных включениях на КЗ.

1. Выбор изоляторов ОРУ проводится в соответствии с [2], исходя из условий длительного

Таблица 1

На- пра- же- ние ОРУ, кВ	Экономия					Годо- вой эко- номи- че- ский эффект, тыс. руб.	Примечание
	чер- ного мет- ала, т	же- лезо- бе- тона, м ³	пла- ши, %	СМР, тыс. руб.	трудо- за- трат, чел. дней		
110	30	12	15	15	200	13,5	Электрические схемы со сборными шинами
220	65	52	10	50	1000	25	То же
330	220	1300	15	130	Не подсчитывались	100	С длиннопролетными шинами
500	300	1700	18	130	1200	130	По типовому проекту
500	450	2600	18	270	Не подсчитывались	250	С длиннопролетными шинами
750	600	4000	18	400	То же	350	То же

лением. Длина пролета шин 110 кВ и выше обычно составляет 9 м и более. Ошиновка ОРУ подвержена воздействию солнечной радиации, ветра и гололеда. Изоляторы и опорные основания обладают обычно достаточно большой упругой податливостью, поэтому массовое внедрение жесткой ошиновки 110 кВ и выше потребовало проведения широких аналитических и экспериментальных исследований ее работоспособности в рабочих и аварийных режимах, разработка методики расчета шинных конструкций, подготовки проекта Руководящих указаний по выбору и расчету изоляторов и жестких шин ОРУ.

Научно-исследовательская работа выполнялась кафедрой электрических станций МЭИ по заказу треста Электростройподстанции, институтов Оргэнергострой и Энергосетьпроект. Экспериментальные исследования проводились совместно с НИЦ ВВА при участии треста Электросетьизоляция, Куйбышевского завода «Электроцинт», Новосельцевского завода линейной и подстанционной арматуры. Далее рассматриваются основные положения методики выбора и расчета жесткой ошиновки, обсуждаются основные результаты аналитических и экспериментальных исследований.

Выбор и расчет жесткой ошиновки ОРУ 110 кВ и выше проводится по длине пути утечки изоляционных опор, расстоянию в свету между токоведущими элементами, а также между проводниками и заземленными элементами, допустимым температурным удлинениям шин, условиям короны, нагреву шин в рабочих режимах (нагрузочной способности) и КЗ (термической стойкости), допустимым прогибам от собственного веса, условиям прочности (стойкости) при ветровых, гололедных и электродинамических нагрузках, в том числе при неуспешных включениях на КЗ.

1. Выбор изоляторов ОРУ проводится в соответствии с [2], исходя из условий длительного

издлинопролетных шин-ферм, изогнутых относительно небольшого диаметра обычных трубчатых шин, длины которых, как правило, не превышает условий наибольшего прогиба от веса). В табл. 1 приводятся данные о эффективности ОРУ с жесткими ичного исполнения (на одно ОРУ, 10 ячеек) по сравнению с гибкой РУ, выполненных по типовым проектировщикам.

ОРУ имеет ряд особенностей. В отрезку до 35 кВ она выполняется из ручных алюминиевых сплавов марки АВТ1 и др., обладающих, однаждыенным электрическим сопротив-

воздействия рабочего напряжения, а также грозовых и коммутационных перенапряжений.

2. Расстояние в свету между токоведущими элементами, а также проводниками и заземленными элементами A должны оставаться выше минимально допустимых значений $A_{\text{доп}}$ (указанных, например, в ПУЭ), т. е.

$$A \geq A_{\text{доп}}. \quad (1)$$

С учетом действия внешних нагрузок минимальное расстояние между фазами

$$A_{\phi-\phi} = a_0 - 2y_{\max}, \quad (2)$$

а между фазами и заземленными элементами составляет

$$A_{\phi-z} = a_1 - y_{1\max}, \quad (3)$$

где a_0 и a_1 — минимальные монтажные расстояния в свету между фазами, а также между токоведущими и заземленными элементами; y_{\max} — наибольший прогиб после отключения двухфазного КЗ; $y_{1\max}$ — максимальный прогиб элемента ошиновки (изолятора или шины), вызывающий наибольшее изменение габарита (между фазой и заземленными элементами) после отключения трехфазного КЗ или при наибольшей скорости ветра.

Экспериментальные исследования показали, что шинные конструкции обладают значительной податливостью, поэтому при КЗ (и после их отключения), а также при нормативных скоростях ветра наблюдаются достаточно большие прогибы ошиновки. Например, наибольший прогиб фазы ошиновки КРУБ 110 кВ при токе КЗ 31,5 кА ($i_{\text{dop}}=80$ кА) превышает 200 мм, а КРУБ 220 кВ достигает примерно 500 мм.

3. Согласно ПУЭ общий коронный разряд не возникает, если

$$E_{\max} \leq 0,9E_0, \quad (4)$$

где E_{\max} — максимальная напряженность на поверхности шины при среднем эксплуатационном напряжении; E_0 — начальная напряженность электрического поля возникновения коронного разряда.

В соответствии с методикой [3] В. Г. Агаповым были рассчитаны минимально допустимые диаметры трубчатых шин $d_{\text{доп}}$ по условиям короны

$U_{\text{ном}}, \text{kV}$	$d_{\text{доп}}, \text{мм}$	$U_{\text{ном}}, \text{kV}$	$d_{\text{доп}}, \text{мм}$
110	9	500	55
220	24	750	84
330	36	1150	140

Полученные результаты показывают, что пропорции шин по условиям короны оправдано проводить только в РУ выше 500 кВ, так как шины, выбранные по другим условиям, отвечают неравенству (4). Кроме того, при двух и более проводниках в фазе допустимые диаметры уменьшаются.

4. Температурные деформации шин не должны приводить к дополнительным усилиям, что обеспечивается свободным продольным перемещением

шин и установкой температурных компенсаторов. При этом длина неразрезного (цельного или сварного) участка шины должна отвечать неравенствам

$$L(\theta_{\min}) \geq L_{\text{доп.мин}}; L(\theta_{\max}) \leq L_{\text{доп.макс}}, \quad (5)$$

где $L_{\text{доп.мин}}$ и $L_{\text{доп.макс}}$ — минимальные и максимальные допустимые длины неразрезного отрезка шины; L — длина этого участка при минимальной температуре θ_{\min} (которую оправдано принять равной абсолютной минимальной температуре воздуха региона) и максимальной температуре θ_{\max} (равной температуре нагрева шины при КЗ, т. е. не более 200 °C).

Длина неразрезного участка шины при различных температурах определяется по формуле

$$L(\theta) = L_0 \prod_{i=1}^k (1 + \alpha_i \Delta \theta_i), \quad (6)$$

где L_0 — начальная (монтажная) длина шины при температуре θ_0 , м; $\Delta \theta_i = \theta_i - \theta_{i-1}$ — температурный интервал, К; $i = 1, 2, \dots, k$ — номер температурного интервала; α_i — коэффициент температурного удлинения на i -м интервале, К⁻¹.

Например, удлинения $\Delta L = L(\theta_{\max}) - L(\theta_{\min})$ шин, изготовленных из сплава 1915Т, с длиной неразрезного участка, равного шагу ячеек ОРУ, при минимальной температуре воздуха —40 °C и монтажной температуре $\theta_0 = 20$ °C составляют:

$U_{\text{ном}}, \text{kV}$	$L_0, \text{м}$	$\Delta L, \text{мм}$
110	9	57
220	15,5	98
330	31	196

5. В рабочих режимах наибольшие температуры нагрева шин θ и болтовых контактов θ_k не должны превышать допустимых значений

$$\theta \leq \theta_{\text{доп}}; \theta_k \leq \theta_{\text{доп.к}}. \quad (7)$$

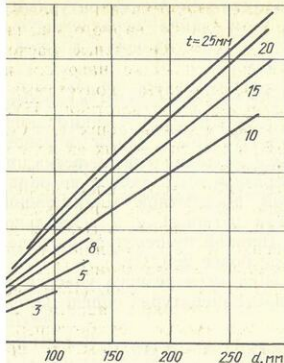
В ГОСТ 8024-84 допустимые температуры медных и алюминиевых шин установлены равными 120 °C, а kontaktов из этих металлов 90 °C при нормированной температуре воздуха 35 °C. Экспериментальные исследования и типовые испытания различных токопроводов в НИЦ ВВА, а также опыт эксплуатации подтверждают надежную работу шин и контактных соединений при указанных температурах, которые отличаются от значений, принятых в ПУЭ.

Для сборных шин, не имеющих болтовых соединений, условие (7) выполняется, если

$$I_{\text{раб.б}} \leq I_{\text{доп}}, \quad (8)$$

где $I_{\text{раб.б}}$ — наибольший рабочий ток; $I_{\text{доп}}$ — длительно допустимый ток, при котором температура шины не превышает 120 °C.

На ответвленных от сборных шин к выводам (зажимам) аппаратов имеются болтовые соединения, поэтому оправдано установить допустимую температуру проводников вблизи kontaktов 90 °C, а в наиболее нагретых точках (в месте присоединения к сборным шинам) не более 120 °C. Таким



где G_r — число Грасгофа; Re — число Рейнольдса при расчетной скорости ветра, обычно принимаемой равной $0,6 \text{ м/с}$.

Расчет нагрузочной способности при равномерном распределении температуры вдоль шины сводится к решению уравнения (10) с левой частью, равной нулю, относительно тока I [7]. На рис. 1 представлены зависимости $I_{\text{доп}}$ неокрашенных шин из сплава 1915Т от диаметра d при различной толщине стенки t , вычисленные при штиле, температуре воздуха 35°C , с учетом солнечной радиации. Исследования показывают, что допустимые токи шин из сплава 1915Т почти в 1,4 раза ниже, чем токи алюминиевых шин АДО. Для увеличения нагрузочной способности шины ОРУ целесообразно окрашивать белой эмалью. Однако, как правило, нагрев шин в рабочих режимах не является определяющим для выбора сечения проводников и поэтому окраска шин ОРУ не требуется.

При неравномерном распределении температуры по длине ответвления, как показывают решения уравнения (10), второе условие выбора шин (9) в ОРУ 110 кВ и выше выполняется при рабочем токе всего на 1—2 % меньше $I_{\text{доп},k}$.

6. Шины считаются термически стойкими, если выполняется неравенство

$$\vartheta_{\text{кз}} \leq \vartheta_{\text{кз,доп}}, \quad (11)$$

где $\vartheta_{\text{кз}}$ и $\vartheta_{\text{кз,доп}}$ — конечная (наибольшая) и допустимая (кратковременная) температура шин при КЗ, $^\circ\text{C}$.

Допустимую кратковременную температуру шин из сплавов 1915 и АВ можно принять равной 200°C , так же как для технического алюминия [1]. Однако конечные температуры нагрева шин из алюминия и алюминиевых сплавов могут существенно отличаться. Например, температура нагрева шин 1915Т примерно в 2 раза выше, чем АДО.

В практике проектирования удобно определять термически стойкие сечения, которые отвечают неравенству

$$S \geq S_t = \sqrt{B/C_t}, \quad (12)$$

где S_t — минимальное сечение шины по условию термической стойкости, мм^2 ; B — интеграл Джоуля, $\text{A}^2 \cdot \text{с}$; C_t — параметр при различных начальных температурах шин ϑ_0 , $\text{A} \cdot \text{с}^{1/2}/\text{мм}^2$,

	$\vartheta_0 = 90^\circ\text{C}$	$\vartheta_0 = 120^\circ\text{C}$
АДО	81	68
АДЗ1Т1	77	64
АДЗ1Т	74	62
АВТ1	66	55
1915Т	60	51

Расчет параметров C_t проводился исходя из уравнения теплового баланса для адиабатического процесса.

7. Наибольший статический прогиб шин от собственного веса $y_{\text{ст, макс}}$ не должен превышать допустимого значения $y_{\text{ст, доп}}$, устанавливаемого исходя из эстетико-психологических требований, обеспечивающих благоприятное впечатление от

внешнего вида конструкции и предотвращающих ощущение опасности, с учетом технико-экономических соображений, т. е.

$$y_{\text{ст, макс}} \leq y_{\text{ст, доп}}.$$

В отечественной практике проектирования $y_{\text{ст, доп}}$ обычно принимают равным $l/80$, в зарубежной $l/150-l/80$. Наибольший статический прогиб определяется методами строительной механики с учетом действия распределенной нагрузки от собственного веса шины и сосредоточенных нагрузок от веса и тяжения жестких и гибких ответвлений. В пролетах без ответвлений, а также с ответвлением, выполненным у осей опор (изоляторов), прогибы шин обусловлены только распределенной нагрузкой $q_{\text{ст}} = mg$ (m — погонная масса шины, кг/м) и равны

$$y_{\text{ст, макс}} = q_{\text{ст}} l / C_{\text{ш}}, \quad (14)$$

где $C_{\text{ш}}$ — жесткость шины, указанная в табл. 2, Н/м .

В РУ 220 кВ и выше условие (13) обычно является определяющим для выбора сечения, длины пролета и конструкции шины.

8. Шины и изоляторы отвечают условиям стойкости при действии силы тяжести ошиновки, гололедных, ветровых и электродинамических нагрузок, если

$$\sigma_{\text{макс}} \leq \sigma_{\text{доп}} = N_{\sigma} \sigma_{\text{в}}, \quad (15a)$$

$$\sigma_{\text{св, макс}} \leq \sigma_{\text{св, доп}} = N_{\sigma} \sigma_{\text{св, в}}, \quad (15b)$$

$$R_{\text{макс}} \leq R_{\text{доп}} = N_R R_{\text{разр}}, \quad (15v)$$

где $\sigma_{\text{макс}}$, $\sigma_{\text{св, макс}}$, $\sigma_{\text{доп}}$, $\sigma_{\text{св, доп}}$ — максимальные расчетные и допустимые напряжения вшине и в области сварных швов шины, Па ; $\sigma_{\text{в}}$ и $\sigma_{\text{св, в}}$ —

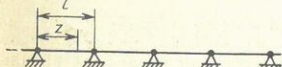
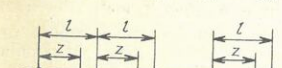
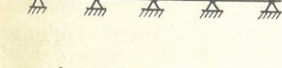
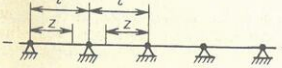
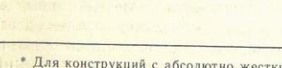
временные сопротивления разрыву материала шины и в области сварного шва шины, Па ; $R_{\text{макс}}$, $R_{\text{доп}}$, $R_{\text{разр}}$ — максимальные расчетные, допустимые и разрушающие нагрузки изоляторов, Н ; N_{σ} — коэффициенты допустимых напряжений, принимаемые в соответствии с ПУЭ равными 0,7; N_R — коэффициенты допустимых нагрузок, равные 0,6, а для спаренных изоляторов 0,5 суммарной разрушающей нагрузки; γ — коэффициент, учитывающий точку приложения нагрузки R , равный при изгибе опор отношению h/H ; h и H — расстояние от опасного сечения изолятора соответственно до его вершины и центра тяжести поперечного сечения шины [1].

Проверка по условию (15б) необходима только для шин, имеющих сварные швы, так как при сварке термически обработанных алюминиевых сплавов происходит снижение прочности материала на 10—50 %.

Напряжения в материале шин и нагрузки на изоляторы при равномерно распределенных статических силах (нагрузках) приводятся к виду $\sigma_{\text{cr}}(z) = q_{\text{ст}} l^2 / [\lambda(z)W]$; $R_{\text{cr}} = \beta q_{\text{ст}} l$, (16) где λ и β — параметры, зависящие от условий опирания шин на опоры пролета (табл. 2); W — момент сопротивления поперечного сечения шины, м^3 ; $q_{\text{ст}}$ — статическая нагрузка, равная, например при гололеде $(m+m_r)q$, Н/м ; m_r — погонная масса гололеда, кг/м .

Динамические нагрузки вызывают колебания шинных конструкций, которые описываются дифференциальным уравнением в частных производных (или системой таких уравнений). Однако в инженерных расчетах, а также при автоматизированных расчетах многовариантных задач

Таблица 2

Схема шинной конструкции	Пролеты	Параметр частоты r_1	Коэффициент β	Параметр $1/\lambda(z)$	Найбольшее значение $1/\lambda$	Жесткость шины $C_{\text{ш}}$	Параметр G
	Все	3,14	1,0	$\frac{1}{2} \left \frac{z}{l} - \frac{z^2}{l^2} \right $	1/8	$\frac{384EI}{5l^3}$	76,8
	Все*	3,92	1,25**	$\left \frac{3}{8} \frac{z}{l} - \frac{1}{2} \frac{z^{-2}}{l^2} \right ^{***}$	1/8	$\frac{185EI}{l^3}$	185
	Крайний	4,73	1,13	$ 0,394 \frac{z}{l} - 0,5 \frac{z}{l^2} ^{***}$	1/9,5	—	—
	Второй	4,73	1,13	$ 0,529 \frac{z}{l} - 0,5 \frac{z^2}{l^2} - 0,106 $	1/9,5	—	—
	Средние	4,73	1,0	$\frac{1}{2} \left \frac{z}{l} - \frac{z}{l^2} - \frac{1}{6} \right $	1/12	$\frac{384EI}{l^3}$	384

* Для конструкций с абсолютно жесткими опорами.

** Для опор с защемлением. Для опор с шарнирным опиранием $\beta=0,75$.

*** Шарнирное опирание в пролете при $z=0$.

звозить более простую модель шин-
ни в виде системы с одной степенью
[10], движение которой отвечает

$$m_{np} \frac{dy_{np}}{dt} + c_{np} y_{np} = Q_{np}, \quad (17)$$

c_{np} — приведенные масса, кг, про-
текость, Н/м, системы; Q_{np} — приве-
щеская нагрузка, Н; $h_{np} = \delta_{np} f_p$ —
рассеяния энергии, с⁻¹; δ_{np} —
ухания; $f_p = \Omega_{np}/2\pi$ — частота соб-
баний системы, Гц; $\Omega_{np} \sqrt{c_{np}/m_{np}}$ —
та, рад/с.

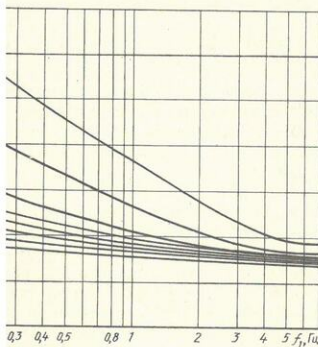
решения задач о колебаниях си-
пределенными и сосредоточенными
оказываются близкими, если па-
рамы с одной степенью свободы
г условиям [1, 8].

$$\delta dz; c_{np} = c; f_{np} = f_1; \delta np = \delta, \quad (18)$$

спределенная внешняя нагрузка,
ткость шинной конструкции, Н/м;
затухания ошиновки; f_1 — первая
истота собственных колебаний кон-
струкции. — (19)

упругости материала шины, Па;
терции шины, м⁴; r_1 — параметр ча-
чай, значения которого для конструк-
тико жесткими опорами приведены
упругоподатливыми — в [1, 8].
упогибы и напряжения в материа-
зия z , а также максимальные на-
поляторы приводятся к виду
 $\sigma(z) = \sigma_{cr}(z)\eta$; $R_{max} = R_{cr}\eta$,

— прогибы, напряжения и нагруз-
ные согласно (14) и (16) при стати-



зависимости коэффициента ξ от частоты
шинной конструкции

ческих внешних силах; $\eta = |y_{np,max}| / |y_{st,max}|$ —
динамический коэффициент.

При КЗ в формулах (14) и (16) q_{st} принимается
равной максимальной электродинамической
нагрузке, которая для параллельных шин, распо-
ложенных в одной плоскости, определяется по
формуле [1, 8]

$$q_{st} = \alpha i_{ud}/a, \quad (21)$$

где α — параметр, равный $2 \cdot 10^{-7}$ или $\sqrt{3} \times 10^{-7}$ Н/А² — соответственно при двух- и трех-
фазном КЗ; i_{ud} — ударный ток КЗ, А; a — рас-
стояние между фазами, м.

Расчетные зависимости динамических коэф-
фициентов электродинамической стойкости η_s
от частоты f_1 приводятся, например, в [1]. Исследо-
вания показывают, что наибольшие усилия
в конструкциях 110 кВ и выше при удаленных
двух- и трехфазных КЗ оказываются близкими.

При повторных включениях на КЗ динамиче-
ский коэффициент η в формулах (20) при-
нимается равным произведению ρ_{np} . Коэффициент
превышения усилий при неуспешных АПВ p за-
висит от фазы колебания в момент отключения
и повторного включения на КЗ, продолжитель-
ности первого КЗ и бестоковой паузы, частоты
собственных колебаний, декремента затухания
и других факторов. При наиболее неблагоприят-
ных фазах отключения и повторного включения
коэффициент превышения лежит в пределах
 $1 \leq p \leq 2$ [9].

Скорость ветра и ветровую нагрузку можно
рассматривать как суммы средних (статических)
и пульсирующих (переменных) составляющих.
Статическая составляющая ветровой нагрузки

$$q_{v,st} = 0.5 \rho_v C_x d V^2, \quad (22)$$

где ρ_v — плотность воздуха, кг/м³; C_x — коэффи-
циент лобового сопротивления шины; V — норматив-
ная стойкость ветра на высоте шины, м/с.

Пульсирующие составляющие скорости и вет-
ровой нагрузки являются стационарными случай-
ными функциями времени. Изменением скорости по
фронту без существенной погрешности можно
пренебречь. В этом случае динамический коэф-
фициент ветровой нагрузки приводится к виду
 $\eta_v = 1 + \xi_v V^{1/3}$, (23)

где ξ_v — коэффициент, зависимость которого от
частоты при различных декрементах затухания
колебаний (в горизонтальной плоскости) при-
водится на рис. 2.

В соответствии с ПУЭ и СНиП 2.01.07-85
расчет шинных конструкций на стойкость целесо-
образно проводить при следующих сочетаниях
максимальных значений векторов электродинами-
ческих \bar{q}_s , ветровых \bar{q}_v , гололедных \bar{q}_f нагрузок
и силы тяжести ошиновки \bar{q}_w :

- а) $\bar{q}_{\Sigma 1} = \bar{q}_s + 0.8 \bar{q}_v + \bar{q}_w;$
- б) $\bar{q}_{\Sigma 2} = 0.8 \bar{q}_s + \bar{q}_v + \bar{q}_w;$
- в) $\bar{q}_{\Sigma 3} = \bar{q}_s + 0.25 \bar{q}_v + \bar{q}_f + \bar{q}_w;$

г) при максимальных \bar{q}_s в режиме неуспешных
АПВ с учетом \bar{q}_w .

Как показывают расчеты, гололедные нагру-
жи и вес ошиновки не оказывают заметного влия-
ния на стойкость конструкции и могут не учиты-
ваться. Наибольшие усилия обычно возникают
при первом (а) и четвертом (г) сочетаниях на-
грузок. По-видимому, принятые сочетания позволя-
ют оценить стойкость конструкций с запасом, снизить
который можно после всесторонней оценки
корреляции электродинамических и ветровых
нагрузок.

9. Ошиновка ОРУ не должна быть подверже-
на ветровым резонансным колебаниям, которые
возбуждаются периодическими срывами вихрей
при скорости ветра

$$K_1 V_s \leq V \leq K_2 V_s, \quad (24)$$

где $V_s = df_{1y}/Sh$ — струхалевская скорость ветра,
м/с; $Sh \approx 0.2$ — число Струхала; f_{1y} — первая
частота собственных колебаний шины (19) в вер-
тикальной плоскости, Гц; K_1 и K_2 — коэффициен-
ты, определяющие область скоростей ветра при
устойчивых резонансных колебаниях, примерно
равные соответственно 0,7—1,0 и 1,0—1,3.

Устойчивые резонансные колебания не возбуж-
даются, если наибольший (расчетный) прогиб
 y_{max} не достигает критических (допустимых)
значений y_{rd} [10], т. е.

$$y_{max} \leq y_{rd}. \quad (25)$$

Допустимый прогиб при вихревых возбужде-
ниях лежит в пределах 0,02—0,1 диаметра шины d ,
а наибольший прогиб в соответствии с решением
уравнения (17) определяется по формуле

$$y_{max} = C_{y0} d^3 r^4 K_2^2 / (mg \delta_y), \quad (26)$$

где C_{y0} — коэффициент подъемной силы, при ма-
лых амплитудах равный 0,8; K_2 — коэффициент
резонансной скорости ветра, который оправдано
установить равным 1,1; G — коэффициент пропор-
циональной жесткости шины (табл. 2); δ_y —
декремент затухания при колебаниях в вертикаль-
ной плоскости.

Как показывают исследования и опыт эксплуата-
ции, резонансная скорость ветра невелика и со-
ставляет не более 2—3 м/с. Напряжение в ма-
териале шины и нагрузки на изоляторы в этом
режиме обычно существенно меньше допустимых
значений (15). Однако продолжительность ветро-
вых резонансных колебаний может быть длитель-
ной (несколько часов), что оказывает отрицатель-
ное психологическое воздействие на персонал
ОРУ, а также может приводить к ослаблению бол-
товых соединений, усталостным повреждениям
элементов конструкции.

При прокладке внутри трубчатой шины троса,
металлического стержня, изменении конструкции
шинодержателей удается увеличить рассеяние
энергии при колебаниях и «отстроиться» от вих-
ревых возбуждений. Декремент колебания шин
в вертикальной плоскости в 2—4 раза меньше,
чем в горизонтальной, и для типовых конструкций

110—220 кВ составляет 0,04—0,2. Расчетные зна-
чения максимальных прогибов при отсутствии го-
лоледа, как правило, незначительно превышают
 y_{max} при гололеде.

ВЫВОДЫ

Предлагаемая методика расчета может ис-
пользоваться как при «ручном», так и автомати-
зированном проектировании жесткой ошиновки
ОРУ 110 кВ и выше. Основные положения ме-
тодики прошли экспериментальную проверку.

Широкое внедрение жесткой ошиновки позво-
ляет повысить технико-экономические показате-
ли ОРУ, в частности, уменьшить расход материа-
лов, объемы строительно-монтажных работ и тру-
доиздатраты, повысить уровень индустриализации
строительства и производительность труда, уско-
рить сооружение ОРУ.

СПИСОК ЛИТЕРАТУРЫ

- Долин А. П., Шонгин Г. Ф. Открытые распределительные устройства с жесткой ошиновкой. М.: Энергоатомиздат, 1988.
- Инструкция по проектированию изоляции в районах с чистой и загрязненной атмосферой. М.: Союзтехэнерго, 1984.
- Техника высоких напряжений / Под ред. Развигера Д. В. М.: Энергия, 1976.
- Бургдорф В. В. Нагрев проводов линий электропередача. — Электричество, 1937, № 17—18.
- Лыков А. В. Тепломассообмен. М.: Энергия, 1971.
- Михеев М. А., Михеева И. М. Основы теплопередачи. М.: Энергия, 1977.
- Долин А. П., Бессонов С. А. Расчет длительно допустимых рабочих токов трубчатых шин ЗРУ и ОРУ. — Электрические станции, 1988, № 4.
- Кудрявцев Е. П., Долин А. П. Расчет жесткой ошиновки распределительных устройств. М.: Энергия, 1981.
- Долин А. П., Козинова М. А. Инженерный расчет жесткой ошиновки на электродинамическую стойкость при неуспешных АПВ. — Труды МЭИ, 1988, № 163.
- Долин А. П., Корягин А. Л. Расчет колебаний жесткой ошиновки ОРУ при ветровых резонансах. — Известия вузов. Энергетика, 1989, № 10.

УДК 621.316.925.621.311

АНАЛИЗ ВЛИЯНИЯ РЕЛЕЙНОЙ ФОРСИРОВКИ ПО НАПРЯЖЕНИЮ ПРИ БОЛЬШИХ ВОЗМУЩЕНИЯХ В ЭНЕРГОСИСТЕМЕ

Штробель В. А., канд. техн. наук, Бейм Р. С., инж.
МЭИ

В настоящее время одно из средств повышения
динамической устойчивости при работе синхрон-
ных машин в энергосистеме — быстрое повыше-
ние (форсировка) возбуждения машин сверх нормаль-
ных значений. Обычно в состав автоматиче-
ского регулятора возбуждения (АРВ) входит
устройство релейной форсировки (РФ) по напряже-
нию, срабатывающее при снижениях напряже-
ния на шинах синхронной машины (СМ) ниже
заданного уровня. Такую релейную форсировку

«ЭНЕРГОЭКО-90»

С 17 по 24 октября 1990 г. в Москве на ВДНХ СССР в павильонах «Электрификация СССР» и «Атомная энергия» будет проводиться международная специализированная выставка «Энергетика и охрана окружающей среды» (Энергоэко-90).

Выставку организуют Международное хозяйственное объединение Интератомэнерго, Министерство атомной энергетики и промышленности СССР, Министерство энергетики и электрификации СССР и Государственный комитет СССР по надзору за безопасным ведением работ в промышленности и атомной энергетике.

В выставке будут участвовать около 90 фирм, предприятий и организаций из Болгарии, Венгрии, Германии, Дании, Индии, Польши, Советского Союза, США, Франции, Чехословакии и других стран.

Это будут дни международной школы передового опыта разработки и применения технических средств для защиты окружающей среды при эксплуатации атомных, тепловых и гидроэлектростанций.

По традиции на выставке будет действовать коммерческий центр, где деловым людям будут созданы условия для ведения переговоров и установления контактов с другими участниками выставки.

В рамках выставки 18—20 октября с. г. будет проводиться международный научно-технический симпозиум «Охрана окружающей среды при проектировании, сооружении и эксплуатации энергетических объектов».

Выставка будет работать ежедневно с 17 до 24 октября с 10 до 18 часов.

16 октября в 14 часов — пресс-конференция;

17 октября в 14 часов — открытие выставки;

24 октября в 14 часов — закрытие выставки.

Приглашаем посетить выставку «ЭНЕРГОЭКО-90» и принять участие в международном симпозиуме.

Оргкомитет

Адрес Оргкомитета:
103074, Москва, Китайский пр., 7
МХО Интератомэнерго
Телефон: 220-46-04
Телекс: 411425 Интер СУ
Телефакс: 9257559